

УДК 535.34

## ВЫСОКОЭФФЕКТИВНАЯ ДИФРАКЦИЯ НА ТОНКИХ И ОБЪЕМНЫХ ДИНАМИЧЕСКИХ ГОЛОГРАММАХ В ЛИНЕЙНЫХ ПОГЛОТИТЕЛЯХ

© 2008 г. И. Н. Агишев, А. Л. Толстик

Белорусский государственный университет, Минск  
E-mail: tolstik@bsu.by

Проанализированы пути повышения эффективности преобразования световых полей динамическими голограммами с использованием схем частотно невырожденного многоволнового смешения в линейно поглощающих жидкостях. Определены условия, и установлен механизм проявления нелинейности пятого порядка, связанный с нелинейностью термооптического коэффициента и зависимостью от температуры плотности и теплоемкости растворителя.

### ВВЕДЕНИЕ

Расширение сферы практического использования динамических голограмм в системах преобразования световых полей в реальном времени и оптической обработки информации связано с оптимизацией схем голографической записи и поиском новых способов достижения высоких значений дифракционной эффективности. Наряду с традиционным использованием для голографической записи сред с кубической нелинейностью в последнее время анализируются преимущества сред с нелинейностью пятого и более высокого порядка, позволяющих реализовать многоволновое смешение и осуществить различные виды преобразования световых пучков (управление формой волнового фронта, изменение направления распространения, пространственная фильтрация и частотное преобразование изображений, передача информации с одних пучков на другие и т.д.) [1–3]. Однако область практического использования многоволнового смешения, как правило, ограничена невысокими значениями нелинейностей высших порядков.

В настоящей работе проанализированы пути повышения эффективности преобразования световых полей динамическими голограммами с использованием схемы частотно невырожденного многоволнового смешения в линейно поглощающих жидкостях, которые ранее рассматривались как среды с чисто кубической нелинейностью. Определены условия и установлен механизм проявления нелинейности пятого порядка, связанный с нелинейностью термооптического коэффициента и зависимостью от температуры плотности и теплоемкости органических жидкостей.

### НЕЛИНЕЙНАЯ ГОЛОГРАФИЧЕСКАЯ ЗАПИСЬ В ЛИНЕЙНЫХ ПОГЛОТИТЕЛЯХ

На возможность записи нелинейных динамических голограмм в чистых органических жидкостях впервые было обращено внимание в [4] при реализации шестиволнового взаимодействия в этаноле. Для объяснения предложено учитывать зависимость от температуры термооптических характеристик, которые, по мнению авторов, могут обусловить насыщающийся характер тепловой нелинейности, по аналогии с резонансными средами с насыщающимся поглощением. Однако такое феноменологическое введение эффекта насыщения затрудняет количественное определение параметра нелинейности.

Для описания процесса дифракции на тепловых динамических решетках в условиях линейного поглощения в настоящей работе предложено использовать разложение функциональной зависимости показателя преломления от температуры в ряд Тейлора по производным различного порядка, а также учитывать зависимость от температуры плотности и теплоемкости используемой органической жидкости. В этом случае тепловое изменение показателя преломления можно представить в виде

$$\Delta n = (\partial n / \partial T) \Delta T + \frac{1}{2} (\partial^2 n / \partial T^2)_{\text{оф}} (\Delta T)^2 + \dots, \quad (1)$$

где  $\partial n / \partial T$ ,  $\partial^2 n / \partial T^2$  – термооптические коэффициенты первого и второго порядка,  $\Delta T = kI\tau/C_p$  – изменение температуры,  $k$  – коэффициент поглощения,  $I$  – интенсивность,  $\tau$  – длительность импульса,  $C_p$  – теплоемкость единицы объема. В выражении (1) введен эффективный термооптический коэффициент второго порядка, учитывающий зависи-

мость теплоемкости единицы объема от температуры  $(\partial^2 n / \partial T^2)_{\text{эфф}} = \partial^2 n / \partial T^2 - (\partial C_p / \partial T)(\partial n / \partial T)C_p^{-1}$ .

Первое слагаемое выражения (1) описывает кубическую нелинейность

$$\chi^{(3)} = \frac{cn_0^2 k \tau}{16\pi^2 C_p} (\partial n / \partial T), \quad (2)$$

которая определяет эффективность четырехвольнового взаимодействия, в то время как второе слагаемое отвечает квадратичной зависимости показателя преломления от интенсивности и однозначно связано с нелинейностью пятого порядка и шестиволновым смешением:

$$\chi^{(5)} = \frac{c^2 n_0^3 k^2 \tau^2}{256\pi^3 C_p^2} (\partial^2 n / \partial T^2)_{\text{эфф}}. \quad (3)$$

Полученные выражения (1)–(3) позволяют рассчитать дифракционную эффективность записанных голограммических решеток. В зависимости от условий записи (соотношения толщины слоя и периода решетки) в теории разделяют голограммы на тонкие и объемные. При записи тонких фазовых голограмм их дифракционная эффективность определяется известной формулой [5]

$$\xi = I_D / I_2 = J_M^2 (2\pi L \Delta n / \lambda), \quad (4)$$

где  $J_M$  – функция Бесселя  $M$ -го порядка, отвечающая  $M$ -порядку дифракции,  $L$  – длина нелинейного слоя,  $\lambda$  – длина волн излучения.

Для анализа эффективности объемных голограмм целесообразно использовать формализм многоволнового смешения [6]. Дифрагированная волна  $E_D$  определяется нелинейной поляризацией  $P = \chi^{(N-1)} (E_1 E_S^*)^M E_2$  ( $N$  – волновое смешение на нелинейности  $N-1$  порядка;  $M = N/2 - 1$  – порядок дифракции), при этом направление ее распространения определяется условием фазового синхронизма  $\vec{k}_D = M\vec{k}_1 - M\vec{k}_S + \vec{k}_2$ . Брэгговская дифракция в  $M$ -порядок реализуется при направлении считывающей волны  $E_2$  под углом  $\beta = \arcsin((M/K)\sin(\alpha/2)) - \alpha/2$  относительно опорной волны  $E_1$ , где  $\alpha$  – угол между записывающими голограмму световыми пучками;  $K\omega$  – частота считающей волны ( $\beta \approx (M/K-1)\alpha/2$  для малых углов  $\alpha$ ). При  $M = K$ , т.е. когда порядок дифракции совпадает с порядком кратности частоты считающей волны, условие синхронизма реализуется при встречном направлении распространения считающей и опорной волн [7, 8].

Для теоретического описания многоволнового смешения используем приближение медленно меняющихся амплитуд, позволяющее записать систему

укороченных волновых уравнений для взаимодействующих световых полей [6]:

$$\frac{\partial E_{1,S}}{\partial r} = i \frac{2\pi\omega}{cn_0} (E_{1,S}\chi_0(\omega) + E_{S,1}\chi_{\pm 1}(\omega)), \quad (5)$$

$$\frac{\partial E_{2,D}}{\partial r} = -i \frac{2\pi K\omega}{cn_0} (E_{2,D}\chi_0(K\omega) + E_{D,2}\chi_{\mp M}(K\omega)), \quad (6)$$

где  $\chi_m$  – компоненты разложения нелинейной восприимчивости среды в ряд Фурье по пространственным гармоникам динамической решетки  $\vec{K} = \vec{k}_1 - \vec{k}_S$ . В приближении малой дифракционной эффективности из уравнения (6) имеем

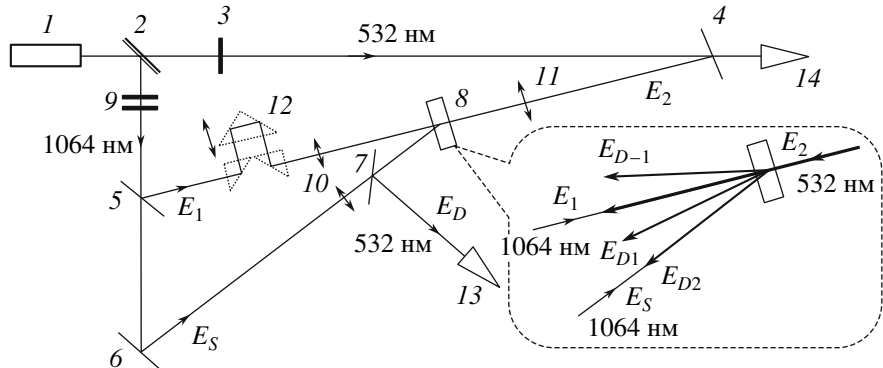
$$\frac{\partial E_D}{\partial r} = -i \frac{2\pi K\omega}{cn_0} \chi^{(N-1)} (E_1 E_S^*)^M E_2, \quad (7)$$

откуда следует выражение для дифракционной эффективности

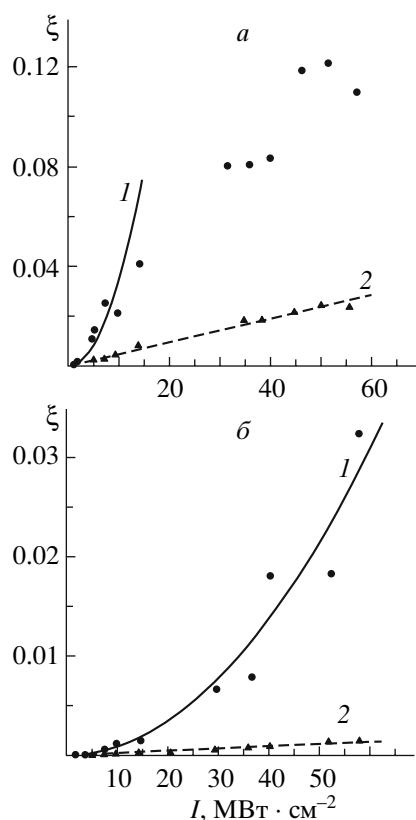
$$\xi = I_D / I_2 = \left( \frac{2\pi K\omega L}{cn_0} \right)^2 |\chi^{(N-1)}|^2 (I_1 I_S)^M \left( \frac{8\pi}{cn_0} \right)^{2M}. \quad (8)$$

### ЭКСПЕРИМЕНТАЛЬНАЯ РЕАЛИЗАЦИЯ МНОГОВОЛНОВОГО СМЕШЕНИЯ В ЛИНЕЙНО-ПОГЛОЩАЮЩЕЙ СРЕДЕ

Дифракция на динамических решетках в линейном поглотителе экспериментально реализована на примере невырожденного по частоте шестиволнового смешения, когда запись голограммы осуществляется на основной частоте генерации лазера на иттрий-алюминиевом гранате ( $\lambda = 1064$  нм), а считывание – на частоте второй гармоники ( $\lambda = 532$  нм). Схема экспериментальной установки представлена на рис. 1. Для спектрального разделения пучков использован спектропреломитель 2. Зеркала 5, 6 и линзы 10 формировали опорную  $E_1$  и сигнальную  $E_S$  волны, записывающие динамическую решетку в нелинейной среде 8 при диаметре пучков  $d = 650$  мкм. Интенсивность волн изменяли с помощью светофильтров 9. С целью синхронизации времени прихода записывающих голограмму лазерных импульсов использована линия задержки 12. Считывающая волна  $E_2$  направлялась на встречу записывающим голограмму волнам с помощью зеркала 4, при этом линза 11 создавала в среде пучок такого же диаметра  $d$ . Для измерения дифракционной эффективности динамической голограммы использована регистрирующая система на основе фотодиодов 13 и 14. В качестве линейно поглощающей среды выбран этанольный раствор хлорида меди, характеризующийся высокой тепловой нелинейностью. Его преимущество связано с высоким поглощением в ближней ИК-области спектра по сравнению с видимым диапазоном (коэффициенты поглощения на длинах волн 1064 и 532 нм отличаются более чем на порядок).

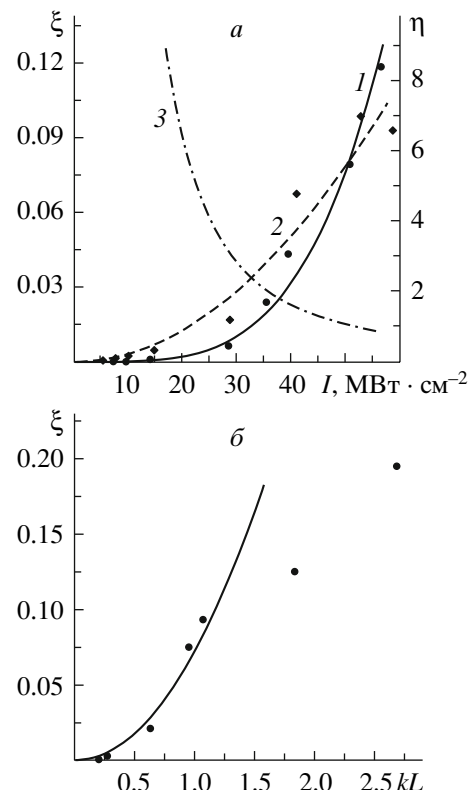


**Рис. 1.** Схема экспериментальной установки: 1 – лазер на алюмоиттриевом гранате, 2 – спектролиттер, 3, 9 – светофильтры, 4 – зеркала, 5 – линзы, 10, 11 – зеркала, 12 – оптическая линия задержки, 13, 14 – системы регистрации. На вставке представлена схема дифракции волн  $E_2$  на решетке, записанной волнами  $E_1$  и  $E_S$ .



**Рис. 2.** Зависимость дифракционной эффективности  $\xi$  от интенсивности записывающих голограмму волн  $I = I_1 = I_S$  для  $+1$  (1) и  $-1$  (2) порядков дифракции на решетках с периодом  $\Lambda = 20$  (а) и  $6$  мкм (б) при оптической толщине среды  $kL = 1$ .

В эксперименте анализировали дифракцию на пропускающих решетках различного периода  $\Lambda$  (от 6 до 20 мкм), что соответствовало уменьшению параметра Клейна  $Q = 2\pi\lambda d/n\Lambda^2$  на порядок (от 40 до 4). Случай  $Q = 40$  отвечает критерию объемной решетки, а  $Q = 4$  – промежуточному случаю, когда должны проявляться свойства как плоской, так и



**Рис. 3.** Зависимость эффективности дифракции  $\xi$  во второй порядок от интенсивности записывающих голограмму волн  $I = I_1 = I_S$  при  $kL = 1$  (а) и от оптической толщины среды  $kL$  при  $I = 50$  МВт · см $^{-2}$  (б) для решетки с периодом  $\Lambda = 6$  (1) и 20 мкм (2). Штрихпунктирной линией (3) представлено отношение дифракционной эффективности для обеих решеток  $\eta = \xi(\Lambda = 20 \text{ мкм})/\xi(\Lambda = 6 \text{ мкм})$ .

объемной голографической записи. Однако во всех случаях наблюдалось несколько порядков дифракции, схематично представленных на рис. 1, которые заметно различались по интенсивности дифрагированной волны.

На рис. 2 и 3 представлены зависимости дифракционной эффективности  $\xi$  от интенсивности

записывающих голограмму волн  $I = I_1 = I_S$  и оптической толщины среды  $kL$ , полученные при дифракции в  $\pm 1$ -е и 2-й порядки на решетках с разными периодами. Как и следовало ожидать, при увеличении параметра Клейна  $Q$  и переходе от решетки с периодом  $\Lambda = 20$  мкм (рис. 2а) к решетке с  $\Lambda = 6$  мкм (рис. 2б) эффективность дифракции в  $\pm 1$ -е порядки уменьшается. При этом увеличиваются различия для +1-ого и -1-ого порядков, что связано с нахождением +1-ого порядка ближе к направлению распространения дифрагированной волны  $E_{D2}$ , отвечающей условию Брэгга. Более интересный момент заключается в существовании диапазона интенсивностей, в котором дифракция во второй порядок выше на решетке с меньшим значением параметра  $Q$  ( $I < 50$  МВт · см<sup>-2</sup>, рис. 3а). Такую ситуацию можно объяснить различными асимптотиками зависимостей дифракционной эффективности от интенсивности для обеих решеток. Дифракционная эффективность для решетки с большим периодом ( $\Lambda = 20$  мкм,  $Q = 4$ ) хорошо описывается квадратичной функцией (штриховая линия на рис. 3а), а для решетки с  $\Lambda = 6$  мкм ( $Q = 40$ ) — параболой четвертой степени (сплошная линия).

Заметим, что зависимость дифракционной эффективности от оптической толщины среды  $kL$  при небольших значениях дифракционной эффективности  $\xi$  в соответствии с уравнением (8) описывается квадратичной параболой (рис. 3б). Рост дифракционной эффективности начинает насыщаться при оптической толщине  $kL = 1$ , отвечающей значению  $\xi \approx 10\%$  для объемной решетки. Максимально достигнутое значение дифракционной эффективности составило 20%, что на несколько порядков превышает данные известных ранее экспериментальных работ по частотно невырожденному шестиволновому смешению при использовании двухфotonного поглощения в полимерах [9], насыщающегося поглощения в растворах органических красителей [6] или тепловой нелинейности чистых органических жидкостей [4]. Для сравнения отметим, что в схеме четырехвольнового взаимодействия в этанольном растворе хлорида меди нами реализована запись пропускающих фазовых голограмм с максимальной дифракционной эффективностью 60%.

Отдельно заметим, что адекватность предложенного подхода для описания динамических голограмм в линейных поглотителях подтверждена со-поставлением полученных экспериментальных результатов с теоретическими расчетами. В частности, данные эксперимента позволили по измеренной дифракционной эффективности с исполь-

зованием уравнений (3), (8) оценить эффективный термооптический коэффициент второго порядка  $(\partial^2 n / \partial T^2)_{\text{эфф}} \approx 10^{-6} \text{ К}^{-2}$ . В то же время из табличных данных [10] следуют значения теплоемкости единицы объема этанола  $C_p = 1.92 \text{ Дж/К} \cdot \text{см}^3$ , ее производной  $\partial C_p / \partial T \approx 5 \cdot 10^{-3} \text{ Дж/К}^2 \cdot \text{см}^3$  и термооптического коэффициента  $\partial n / \partial T = -4 \cdot 10^{-4} \text{ К}^{-1}$ , а использование формулы Лорентц–Лоренца позволяет оценить термооптический коэффициент второго порядка  $\partial^2 n / \partial T^2 \approx -10^{-7} \text{ К}^{-2}$ . В итоге из известных данных следует оценка эффективного термооптического коэффициента  $(\partial^2 n / \partial T^2)_{\text{эфф}} = \partial^2 n / \partial T^2 - (\partial C_p / \partial T)(\partial n / \partial T) C_p^{-1}$ , близкая к полученной экспериментально.

## ЗАКЛЮЧЕНИЕ

Продемонстрирована перспективность использования линейно поглощающих окрашенных органических жидкостей для реализации высокоэффективного шестиволнового смешения на нелинейности пятого порядка. Установлено, что определяющий вклад в процесс взаимодействия вносит тепловая нелинейность, обусловленная зависимостью от температуры плотности и теплоемкости растворителя. Для учета указанных зависимостей введено понятие эффективного термооптического коэффициента второго порядка, позволившее построить адекватную теоретическую модель.

## СПИСОК ЛИТЕРАТУРЫ

1. *Merkel K.D., Cole Z., Babbitt W.R.* // *J. Luminescence*. 2000. V. 86. P. 375.
2. *Astinov V., Kubarych K.J., Milne C.J., Miller R.J.D.* // *Opt. Lett.* 2000. V. 25. № 11. P. 853.
3. *Ormachea O., Romanov O.G., Tolstik A.L. et al.* // *Opt. Express*. 2006. V. 14. № 18. P. 8298.
4. *Ormachea O., Tolstik A.L.* // *Изв. РАН. Сер. физ.* 2007. Т. 71. № 1. С. 131.
5. *Миллер М.* Голография. Л.: Машиностроение. 1979. 207 с.
6. *Rubanov A.S., Tolstik A.L., Karpuik S.M., Ormachea O.* // *Opt. Commun.* 2000. V. 181. № 1–3. P. 183.
7. *Ивахник В.В., Никонов В.И.* // *Оптика и спектроскопия*. 1993. Т. 75. № 2. С. 385.
8. *Karpuik С.М., Rubanov A.C., Tolstik A.L., Чайль А.В.* // *Письма в ЖТФ*. 1994. Т. 20. № 12. С. 4.
9. *Charra F., Nunzi J.-M.* // *J. Opt. Soc. Amer. B*. 1991. V. 8. № 3. P. 570.
10. *Стабников В.И., Ройтер И.М., Процюк Т.Б.* Этиловый спирт. М.: Пищ. пром-сть, 1976. 272 с.